

Chomp 游戏, D. Gale, *A Curious Nim-type game*, Amer. Math. Monthly **81** (1974), 不再赘述。

Chomp 游戏研究

二行 Chomp 游戏

令 (a, b) ($a \geq b \geq 0$ 且 $a > 0$) 表示一个第一行有 a 列, 第二行有 b 列的 Chomp 游戏。

有定理显示: $(a, a-1)$ 是 \mathcal{P} (必败态) 而任意的 (a, b) ($b \neq a-1$) 都是 \mathcal{N} (必胜态)。

应用数学归纳法不难证明。

三行 Chomp 游戏

令 (a, b, c) 表示一个第一行有 a 列, 第二行有 b 列, 第三行有 c 列的 Chomp 游戏。

一些 c 比较小的情况, 手玩

当 $c = 0$ 时, 我们通过二行 Chomp 游戏, 已知这个新游戏的一些情况。

于是我们考虑研究 $c = 1$ 的情况。

我们可以发现 $(b+1, b, 1)$ 均是 \mathcal{N} 态, 这是因为它们都能转移到 $(b+1, b, 0)$ 这个 \mathcal{P} 态。

并且 $(1, 1, 1)$ 当然也是 \mathcal{N} 态, 那么 $c = 1$ 时的 \mathcal{P} 态到底在哪里呢?

我们注意到 $(2, 2, 1)$ 和 $(3, 1, 1)$ 实际上是 \mathcal{P} 态, 读者可以自行验证。

而这实际上宣判了所有的 a, b 「比它们大」的状态都是 \mathcal{N} 态:

- 对于 $(a, b, 1)$, 只要 $a \geq 3$ 并且 $b \geq 2$ 就能转移到 $(2, 2, 1)$ 。
- 而如果 $a \geq 4$ 并且 $b = 1$ 就能转移到 $(3, 1, 1)$ 。
- 这些便覆盖了所有的 $a \geq b \geq 1$ 的状态。

结论: 当 $c = 1$ 时, 游戏 (a, b, c) 唯二的 \mathcal{P} 态就是 $(2, 2, 1)$ 和 $(3, 1, 1)$ 。

接下来研究 $c = 2$ 的情况。

同样地, 有 $(b+1, b, 2)$ 均是 \mathcal{N} 态, 因为都能转移到 $(b+1, b, 0)$ 这个 \mathcal{P} 态。

而 $(2, 2, 2)$ 也是 \mathcal{N} 态。并且 $(3, 3, 2)$ 因为可以转移到 $(3, 1, 1)$ 这个 \mathcal{P} 态, 它也是 \mathcal{N} 态。

考虑 $(4, 2, 2)$, 不难验证它无法转移到任何 \mathcal{P} 态, 所以它也是 \mathcal{P} 态。

这便意味着 $(4, 3, 2), (4, 4, 2)$ 都是 \mathcal{N} 态, 以及所有的 $(4 + \alpha, 2, 2)$ ($\alpha \geq 1$) 也都是 \mathcal{N} 态。

注意 $(a, b, 2)$ 当 $a \geq b \geq 3$ 时转移到 $(*, *, 1)$ 时均无法得到 \mathcal{P} 态, 所以仅需考虑转移到 $(*, *, 2)$ 的 \mathcal{P} 态的情况。

那么考虑目前唯一的 \mathcal{P} 态 $(4, 2, 2)$, 不能转移到它的「最小」的状态是 $(5, 3, 2)$ 。

所以 $(5, 3, 2)$ 当然是 \mathcal{P} 态, 而不能转移到它的「最小」的状态是 $(6, 4, 2)$ 。

由 $(6, 4, 2)$ 又能推出下一个 \mathcal{P} 态是 $(7, 5, 2)$, 以此类推。

我们可以猜想: $(a, b, 2)$ 是 \mathcal{P} 态当且仅当 $a - b = 2$ 。

这个猜想也可以由数学归纳法证明, 不过比 $c = 0$ 时的情况复杂一些。

结论：当 $c = 2$ 时，游戏 $(a, b, 2)$ 是 \mathcal{P} 态当且仅当 $a - b = 2$ 。

对于 $c = 3$ 的情况，我们有唯三的三个 \mathcal{P} 态 $(5, 5, 3), (6, 3, 3), (7, 4, 3)$ ，具体推导过程在此不详述。

结论：当 $c = 3$ 时，游戏 (a, b, c) 唯三的三个 \mathcal{P} 态是 $(5, 5, 3), (6, 3, 3), (7, 4, 3)$ 。

手玩太麻烦了，不是吗？

使用计算机帮助寻找

对于 $c = 0 \sim 408$ 的情况，我们可以打表获得 c 值恒定时的所有 \mathcal{P} 态的规律。

当然， c 还可以更大，但是这里我只打到了 $c \leq 408$ 的情况。

可惜的是，对于不同的 c 值的变化，呈现出的规律似乎是无序的，暂时并无法从中总结出任何模式。

所以我们仅能对 c 在一定范围内的情况给出这些规律，详见 `table1.txt`。源程序详见 `code3.cpp`。

需要特别注意的是， $c = 120$ 时它的规律与其他情况不同，有着长为 2 的周期，而不像其他情况仅仅是一直重复，这是很有趣的。

这个 $c = 120$ 是**第一个反例**，接下来还有两个反例是 $c = 400$ 和 $c = 402$ 。

更加特别的是， $c = 400$ 的周期和 $c = 120$ 是一样的，都为 2，但是 $c = 402$ 的周期为 4。

这两个新的反例靠得那么近是有原因的，实际上是 $c = 400$ 直接影响了 $c = 402$ 的情况，并且把它的循环周期变成了 4。

上述打表程序的时间复杂度是 $\mathcal{O}(k^4)$ 的，其中 k 指的是 c 的最大值，即求出所有 $c \in [0, k]$ 之间的答案的复杂度。

接下来需要研究的是能否在 $\mathcal{O}(k^3)$ 甚至 $\mathcal{O}(k^2)$ 的时间内求出这些信息（应该做不降低于 $\mathcal{O}(k^2)$ 的复杂度，因为信息量有那么多）。

我们先展示打出的表中对于 c 在 $0 \sim 10$ 中的情况，其中 `c: (a,b)` 表示 (a, b, c) 是一个 \mathcal{P} 态：

```
0: pat(1+k,0+k)...
1: (3,1),(2,2)
2: pat(4+k,2+k)...
3: (6,3),(7,4),(5,5)
4: (8,4),(9,5),(10,6),(7,7)
5: (10,5),(9,6),pat(11+k,7+k)...
6: (11,6),(12,7),(13,8),(9,9)
7: (13,7),(14,8),(12,9),pat(15+k,10+k)...
8: (15,8),(14,9),(16,10),(17,11),(12,12)
9: (16,9),(17,10),(14,11),pat(18+k,12+k)...
10: (18,10),(19,11),(20,12),(21,13),(14,14)
```

其中 `pat(a+k,b+k)...` 表示的是形如 $(a+k, b+k, c)$ ($k \in \mathbb{N}$) 的情形，包含无限种情况。

我们考虑对于一个 (a, b, c) 如何根据已知信息去推断它是否为 \mathcal{P} 态。

换言之，也就是寻找一个已知的 \mathcal{P} 态 \mathbf{P} 使得 $\mathbf{X} = (a, b, c)$ 能转移到 \mathbf{P} 。

如果找不到这样的 \mathbf{P} ，则 \mathbf{X} 即为 \mathcal{P} 态，否则为 \mathcal{N} 态。

先考虑 \mathbf{P} 的 c 不为当前的 c 的情况，简记为 $c(\mathbf{P}) < c(\mathbf{X})$ ：

- 此时想要 \mathbf{X} 能转移到 \mathbf{P} ，必须有选取的那个位置 (i, j) 满足 $j = c(\mathbf{P}) + 1$ ，而 i 可以等于 1, 2, 3 中的任意一个。
- 如果 $i = 3$ ，则即是 $\mathbf{X} = (a, b, c)$ 而 $\mathbf{P} = (a, b, c_2)$ ，仅有第三行的长度不同。
 - 换言之，也就是如果 $\mathbf{P} = (a_1, b_1, c_1)$ 则能转移到的 $\mathbf{X} = (a_1, b_1, q)$ (满足 $c_1 < q \leq b_1$)。
- 如果 $i = 2$ ，则即是 $\mathbf{X} = (a, b, c)$ 而 $\mathbf{P} = (a, c_2, c_2)$ 。
 - 换言之，也就是如果 $\mathbf{P} = (a_1, c_1, c_1)$ 则能转移到的 $\mathbf{X} = (a_1, q_1, q_2)$ (满足 $c_1 < q_2 \leq q_1 \leq a_1$)。
- 如果 $i = 3$ ，则即是 $\mathbf{X} = (a, b, c)$ 而 $\mathbf{P} = (c_2, c_2, c_2)$ 。
 - 这是不可能的，因为没有任何 (q, q, q) 是 \mathcal{P} 态。

我们需要注意，上述分析中， $i = 2$ 时的情况对应的 \mathbf{P} 必须满足第二行和第三行长度相等。

再考虑 \mathbf{P} 的 c 等于当前的 c 的情况，即 $c(\mathbf{P}) = c(\mathbf{X})$ ：

- 第一种情况是 $\mathbf{X} = (a, b, c)$ 而 $\mathbf{P} = (a, b_2, c)$ 。
 - 换言之，也就是如果 $\mathbf{P} = (a_1, b_1, c_1)$ 则能转移到的 $\mathbf{X} = (a_1, q, c_1)$ (满足 $b_1 < q \leq a_1$)。
- 第二种情况是 $\mathbf{X} = (a, b, c)$ 而 $\mathbf{P} = (a_2, b, c)$ 。
 - 换言之，也就是如果 $\mathbf{P} = (a_1, b_1, c_1)$ 则能转移到的 $\mathbf{X} = (q, b_1, c_1)$ (满足 $q > a_1$)。
- 第三种情况是 $\mathbf{X} = (a, b, c)$ 而 $\mathbf{P} = (b_2, b_2, c)$ 。
 - 换言之，也就是如果 $\mathbf{P} = (b_1, b_1, c_1)$ 则能转移到的 $\mathbf{X} = (q_1, q_2, c_1)$ (满足 $q_1 > b_1$ 和 $q_2 \geq b_1$)。

总结一下

从 \mathbf{P} 到 \mathbf{X} 有**五种**转移（或者应该叫做「反向转移」）方式！

它们如下所示（假设 $\mathbf{P} = (a, b, c)$ ）：

1. 对 \mathbf{P} 的限制：无限制；
转移： $\mathbf{X} = (a, b, q)$ ，其中 $c < q \leq b$ 。
2. 对 \mathbf{P} 的限制： $b = c$ ；
转移： $\mathbf{X} = (a, q_1, q_2)$ ，其中 $c < q_2 \leq q_1 \leq a$ 。
3. 对 \mathbf{P} 的限制：无限制；
转移： $\mathbf{X} = (a, q, c)$ ，其中 $b < q \leq a$ 。
4. 对 \mathbf{P} 的限制：无限制；
转移： $\mathbf{X} = (q, b, c)$ ，其中 $q > a$ 。
5. 对 \mathbf{P} 的限制： $a = b$ ；
转移： $\mathbf{X} = (q_1, q_2, c)$ ，其中 $q_1 > b$ 且 $q_2 \geq b$ 。

其中前两种转移是将 c 增大了的，后三种转移的 c 值并不会改变。

我们将这些转移分别编号为 1 ~ 5，以便后文中提到。

上述这些转移的使用将在下文中给出具体的例子，看不懂或觉得太复杂不想看的话不要着急。

除此之外，我们还可以证明这样一个定理：

- **定理 1**：当 (a, b, c) 三维中有任意两维确定时，不论剩余的那一维如何变化，最多只能产生一个 \mathcal{P} 态。
- **证明 1**：假设有两个 \mathcal{P} 态产生了，考虑剩余那一维较大的，它必然能转移到较小的那个，导出矛盾。

这条定理在一定程度上限制了 \mathcal{P} 态的个数。

实际上，根据打出的表，我们可以做出如下猜测：

- 游戏 (a, b, c) 中 \mathcal{P} 态的个数（分两类：零散无规律的，以及 a, b 之差恒定且以等差数列形式递增的）是 $\mathcal{O}(c)$ 级别的。
- 游戏 (a, b, c) 中 a 值最大的，零散无规律的 \mathcal{P} 态（或有规律的 \mathcal{P} 态中 a 值最小的），它的 a 值为 $2c + \mathcal{O}(1)$ 。

在打出的表（ $c = 0 \sim 408$ ）的范围内，这两个结论均大致符合实际情况。

也就是说，我们可以猜测：在 $c \leq k$ 的情况下，游戏 (a, b, c) 的 \mathcal{P} 态的数目（有规律的序列仅算一个）是 $\mathcal{O}(k^2)$ 的。

且第二个猜测能帮助我们控制计算的范围，控制在 $[2c + \mathcal{O}(1)]^2$ 内，我们有望能找到一个 $\mathcal{O}(k^3)$ 的算法。

图解计算过程

回到当 $c = 0 \sim 10$ 时打出的表：

```
0: pat(1+k,0+k) ...
1: (3,1), (2,2)
2: pat(4+k,2+k) ...
3: (6,3), (7,4), (5,5)
4: (8,4), (9,5), (10,6), (7,7)
5: (10,5), (9,6), pat(11+k,7+k) ...
6: (11,6), (12,7), (13,8), (9,9)
7: (13,7), (14,8), (12,9), pat(15+k,10+k) ...
8: (15,8), (14,9), (16,10), (17,11), (12,12)
9: (16,9), (17,10), (14,11), pat(18+k,12+k) ...
10: (18,10), (19,11), (20,12), (21,13), (14,14)
```

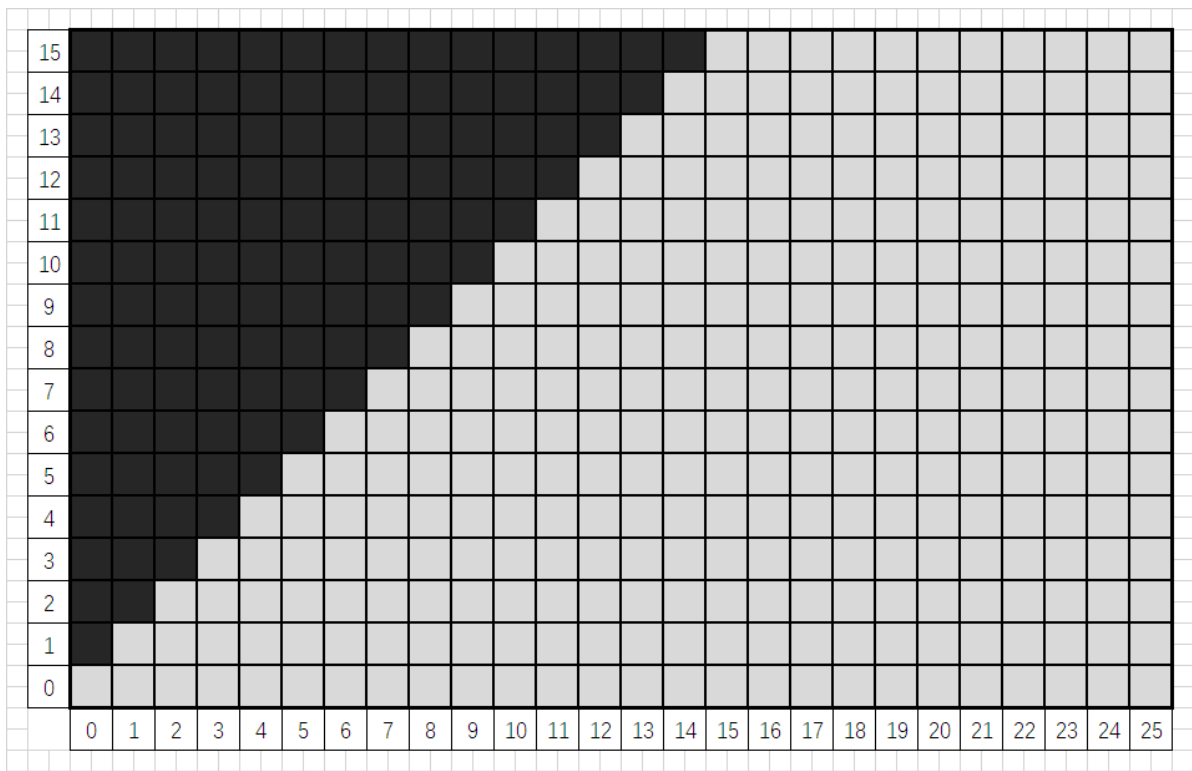
以及五种转移方式（假设 $\mathbf{P} = (a, b, c)$ ）：

1. 对 \mathbf{P} 的限制：无限制；
转移： $\mathbf{X} = (a, b, q)$ ，其中 $c < q \leq b$ 。
2. 对 \mathbf{P} 的限制： $b = c$ ；
转移： $\mathbf{X} = (a, q_1, q_2)$ ，其中 $c < q_2 \leq q_1 \leq a$ 。
3. 对 \mathbf{P} 的限制：无限制；
转移： $\mathbf{X} = (a, q, c)$ ，其中 $b < q \leq a$ 。
4. 对 \mathbf{P} 的限制：无限制；
转移： $\mathbf{X} = (q, b, c)$ ，其中 $q > a$ 。
5. 对 \mathbf{P} 的限制： $a = b$ ；
转移： $\mathbf{X} = (q_1, q_2, c)$ ，其中 $q_1 > b$ 且 $q_2 \geq b$ 。

接下来将配合图片显示如何通过这五种方式，用手玩快速地验证打出的表是否无误。

我们考虑按照 c 从小到大的顺序验证，对于固定的 c ，我们再将 (a, b, c) 是 \mathcal{P} 态的位置记录下来，并在二维平面上 (a, b) 处标记。

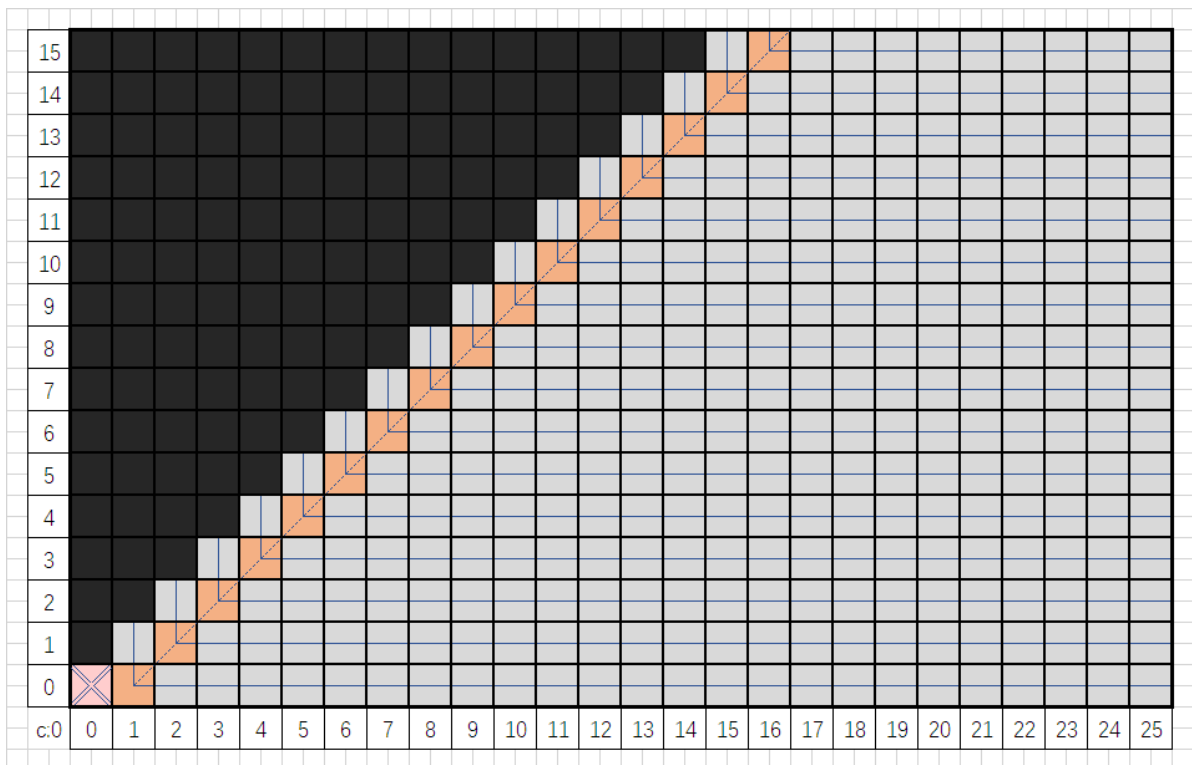
首先我们画出这样的一个「二维平面」：



其中将会展示当 c 固定, (a, b) 任意时的 \mathcal{P} 态的情况, 横坐标表示 a 的值, 纵坐标表示 b 的值。

因为一定有 $b \leq a$, 所以对角线以上的部分被涂黑了。

考虑 $c = 0$ 的情况:



其中 $(a, b) = (0, 0)$ 的位置被特殊标记了, 因为那里严格来说并不是一个合法的状态。

接下来我们找到「最小」的未被标记的位置, 这里的「最小」指的是左下部分已经全部被标记了 (偏序关系)。

我们找到了 $(1, 0)$, 对应着游戏 $(1, 0, 0)$, 我们把它标记为一个 \mathcal{P} 态, 用橙色 ■ 标记。

对于每个 \mathcal{P} 态, 对其应用上文中的 3 号和 4 号转移, 也即 (a, b, c) 转移到 (q, b, c) 和 (a, q, c) 。

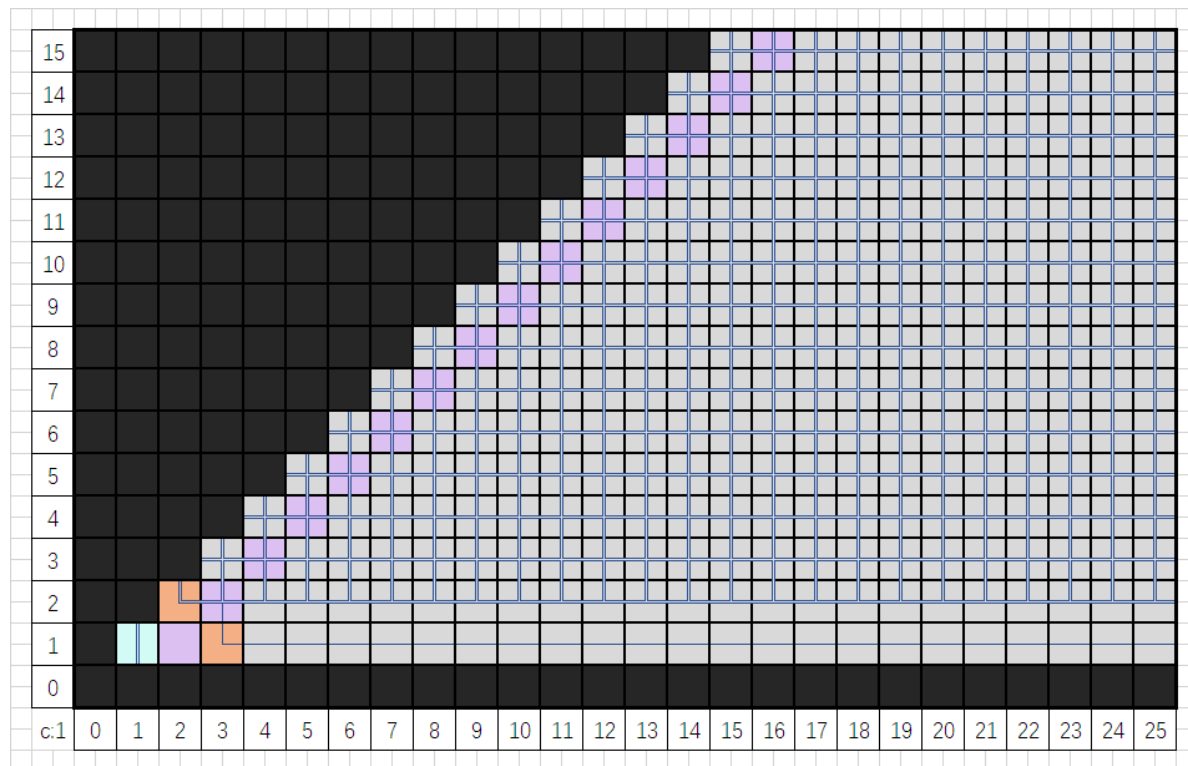
对应到图上也就是向右侧和上侧延伸出两条线, 途经的位置均被该 \mathcal{P} 态转移到, 所以一定是 \mathcal{N} 态。

接下来再找到最小的未被标记的位置，这里是 $(2, 1)$ ，再对其应用 3 号和 4 号转移，就又消去了一行一列的 \mathcal{P} 态的可能性。

以此类推，找到 $(3, 2), (4, 3), (5, 4), \dots$ ，已经可以看出循环的规律了，所以用虚线把最终循环的部分连接起来。

这就是当 $c = 0$ 时的情况，仅利用了上文中的两种转移方式，确定了所有的 \mathcal{P} 态的规律。

接下来再考虑 $c = 1$ ：



一个最明显的变化就是， $b = 0$ 的那一行也像 $b > a$ 的部分一样被涂黑了，因为此时必须要有 $b \geq c = 1$ 。

除了 $b = 0$ 消失了之外，还出现了「浅紫色」和「浅蓝色」加格子中间的双竖线以及覆盖整个 $b \geq 2$ 区域的网格型标记。

这就对应着 $c = 0$ 时没用到的另外三种转移方式：

1. 浅紫色：对应了第 1 种转移： $(a, b, c) \rightarrow (a, b, q)$ 。
可以看出它的 (a, b) 是不变的，也就是会一直留在平面的相同位置，导致对更大的 c 来说，这些位置一定是 \mathcal{N} 态。
2. 浅蓝色 加格子中间的双竖线：对应了第 2 种转移： $(a, c, c) \rightarrow (a, q_1, q_2)$ 。
可以看出它的 a 值是不变的，在图中体现的就是一个恒定的 $a = a_0$ 的竖条区域被覆盖，而且也会影响之后所有 c 值的平面。
3. 覆盖整个区域的网格型标记：对应了第 5 种转移： $(b, b, c) \rightarrow (q_1, q_2, c)$ 。
这是 c 值不发生改变转移类型，所以不用颜色进行标记。
这个转移能转移到所有 (q_1, q_2) ，只要满足 $q_1, q_2 \geq b$ 就行（不包括 (b, b) 本身）。
所以在图中体现的是一个无限延伸的，线条类型为双线的网格型覆盖标记。

实际上是先用第 1, 2 种转移，也就是格子颜色的转移，因为它们是只能从较小的 c 转移到较大的。

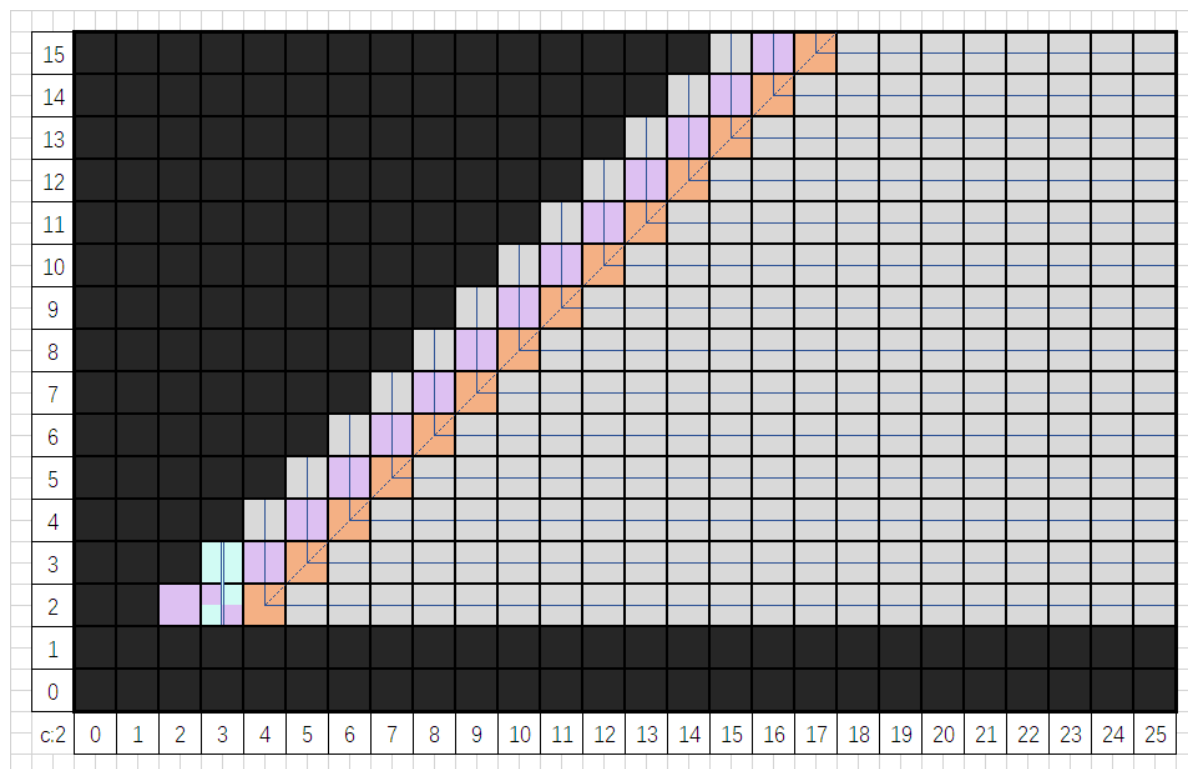
然后我们再使用橙色去标记可以被确认的 \mathcal{P} 态。

这里标记了 $(3, 1)$ ，然后用第 3, 4 种转移，向右向上延伸出两条线型标记。

然后发现接下来的 \mathcal{P} 态是 $(2, 2)$ ，它落在了对角线上，所以触发了第 5 种转移。

它就把它右上角的所有位置都覆盖掉了，它们都变成了 \mathcal{N} 态。

接下来我们观察 $c = 2$ 的情况：



这里黑色的部分又上涨了一行。

然后是颜色转移（即第 1, 2 种转移，对应浅紫色 和 浅蓝色 的背景颜色）。

颜色转移可以继承上一个 c 的颜色，但是还要加上的是上一个 c 的 \mathcal{P} 态带来的影响。

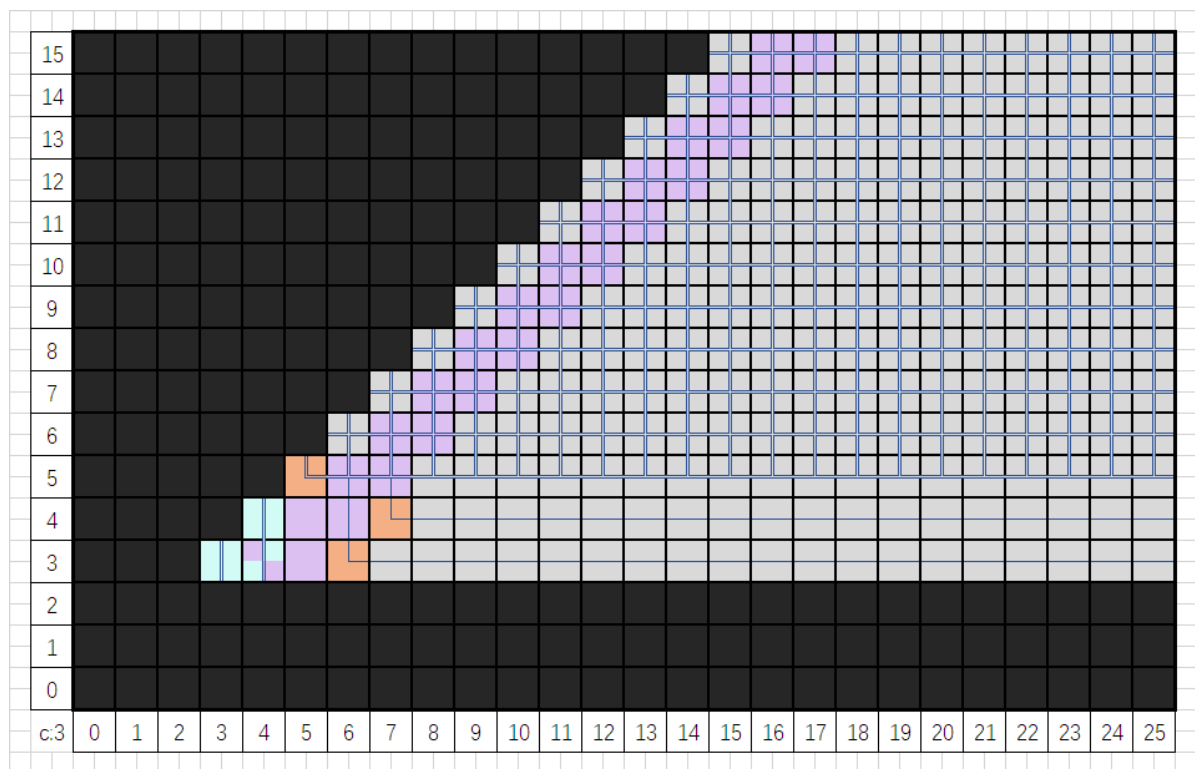
在这张图中的体现就是 $(2, 2)$ 变紫了，而 $(3, 2)$ 和 $(3, 3)$ 也都添上了一抹蓝色（换句话说就是 $a = 3$ 这一整列都会这样）。

注意这里 $(3, 2)$ 既有紫色又有蓝色，这是可能存在的，这意味着它会被两个 c 值更小的 \mathcal{P} 态转移到。

颜色转移结束后，就开始进行使用第 3, 4 种转移的， c 值不改变的转移方式（也就是自己转移给自己）。

这样又延伸出一条形如 $(4, 2), (5, 3), \dots$ 的橙色格子序列。这就是 $c = 2$ 时的所有 \mathcal{P} 态。

接下来是 $c = 3$ ：



黑色部分又上涨了一行。

然后继续搞颜色转移，注意到紫色和蓝色都又被染进了新的格子里。

蓝色的 $a = 4$ 列是由于 $(4, 2, 2)$ 是 \mathcal{P} 态，应用第 2 种转移。

新加入的紫色的斜对角线，显然就是由于 $c = 2$ 时的无限延伸的 \mathcal{P} 态序列，应用第 1 种转移。

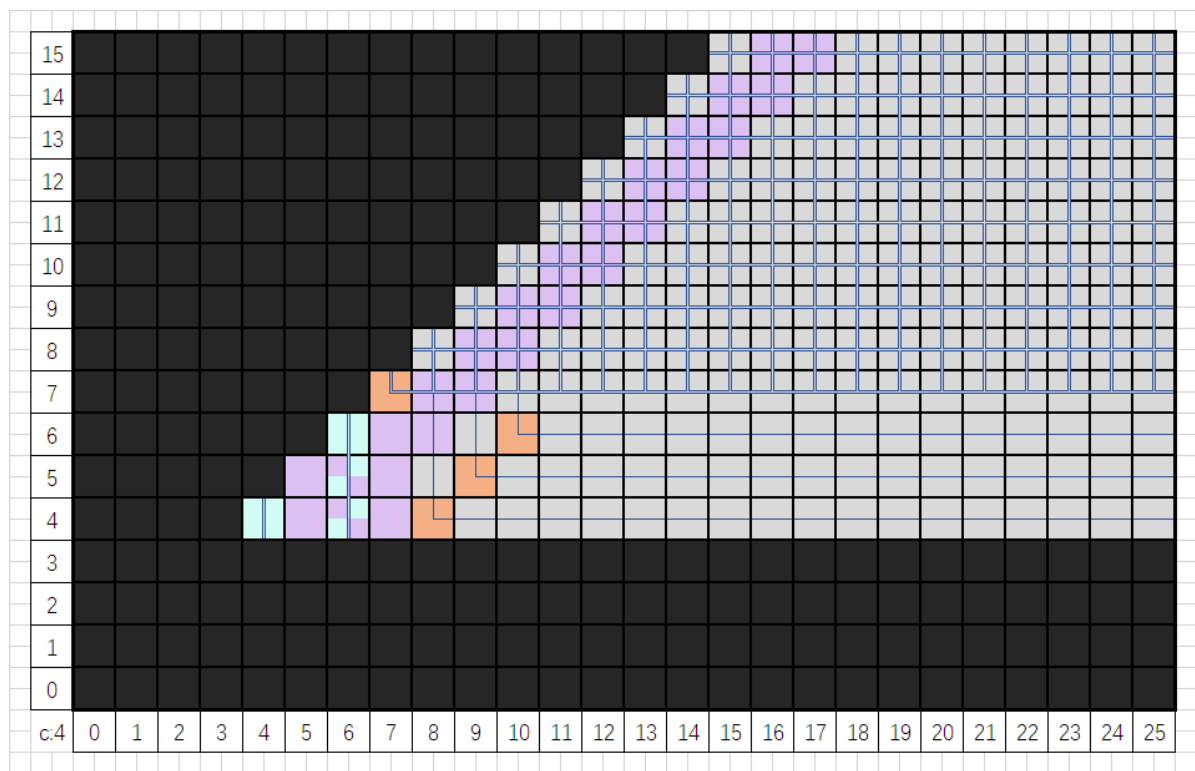
做完了颜色转移，再用橙色标记新的 $c = 3$ 时的 \mathcal{P} 态。

标记了 $(6, 3)$ 和 $(7, 4)$ 后，别忘了对它们使用第 3, 4 种转移，也就是朝着右方和上方发射两条线，标记沿途的格子变成 \mathcal{N} 态。

最后标记到了 $(5, 5)$ ，因为它的 $a = b$ ，所以触发了第 5 种转移，把右上方的所有格子都标记成了 \mathcal{N} 态。

这三个就是 $c = 3$ 时唯三的 \mathcal{P} 态了。

我们还可以继续考虑 $c = 4$ ：



黑色行上涨和颜色转移这里就不展开了。如何确定新的 \mathcal{P} 态也由读者自行完成吧。

每次转移不要忘记：

1. 黑色行上涨一行。
2. 紫色转移：继承上一个 c 值的平面，但是把上一个 c 值的平面的橙色 (\mathcal{P} 态) 改成紫色 (第 1 种转移)。
3. 蓝色转移：上一个 c 值中的橙色格子，一定有一个是紧贴下方黑色行的，请把它所在列在当前状态下染成蓝色 (第 2 种转移)。

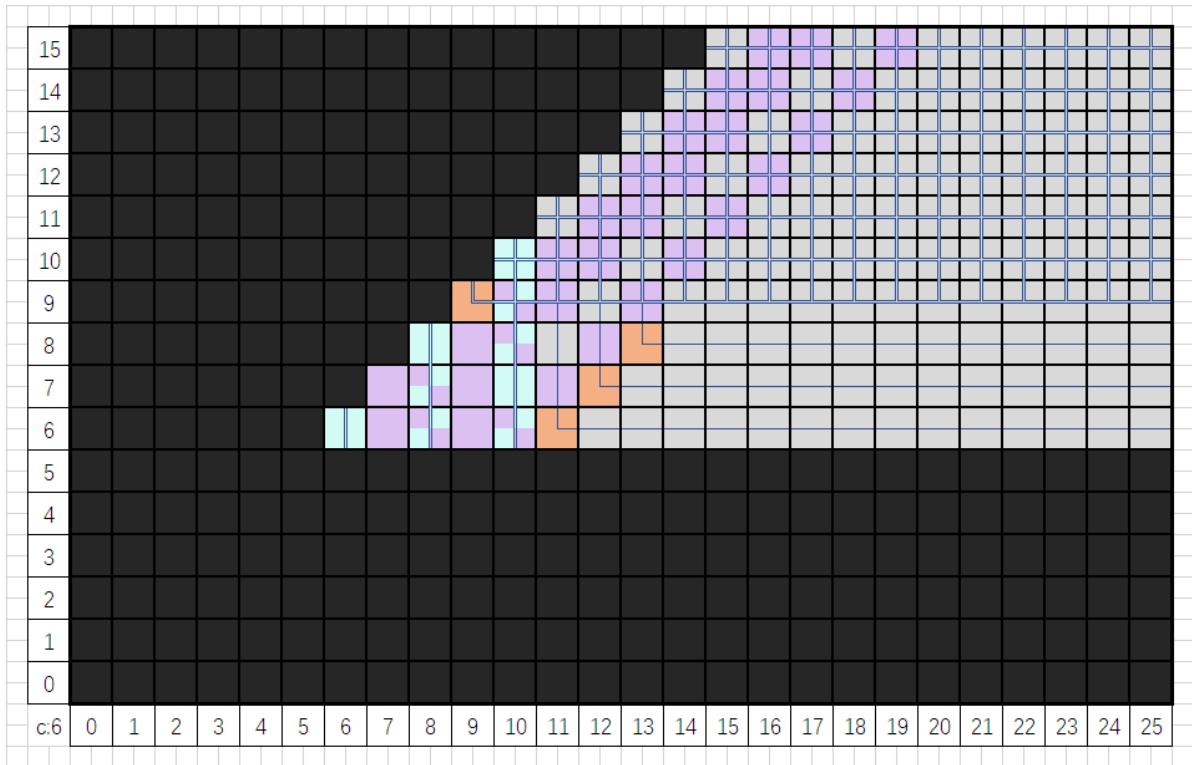
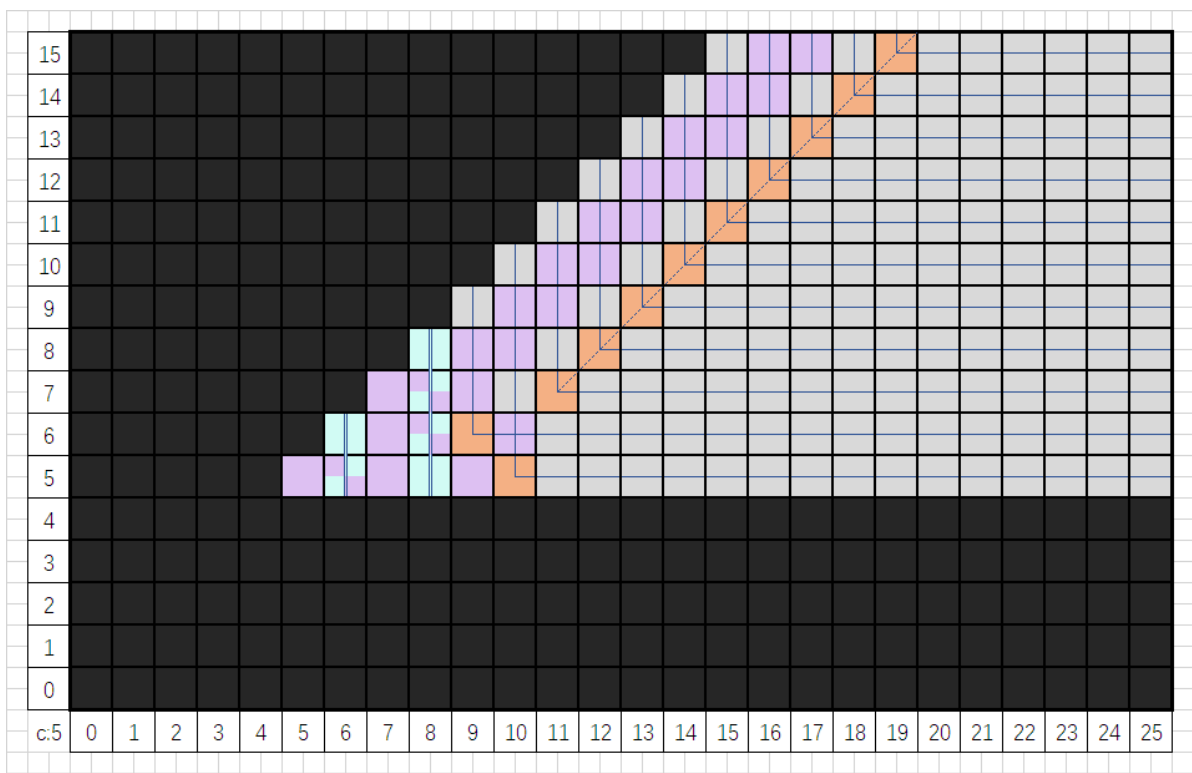
然后按照行从低到高去确定每个橙色格子，然后应用第 3, 4 种转移。

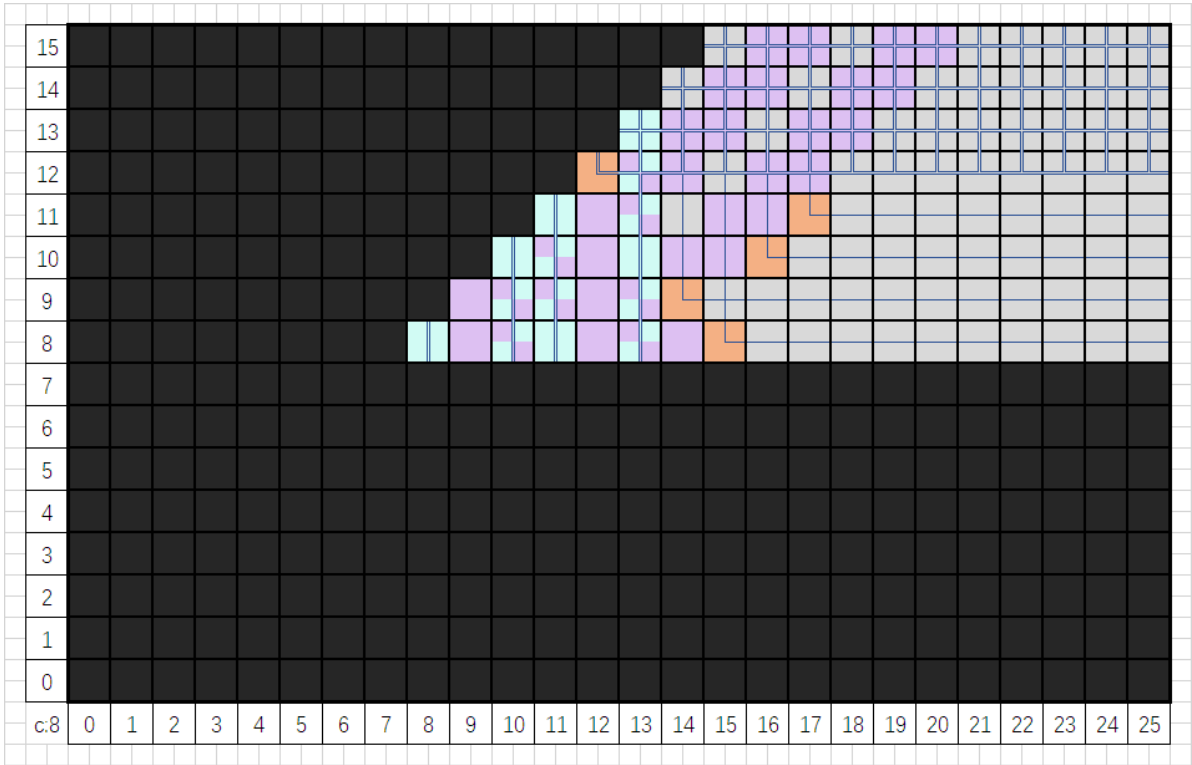
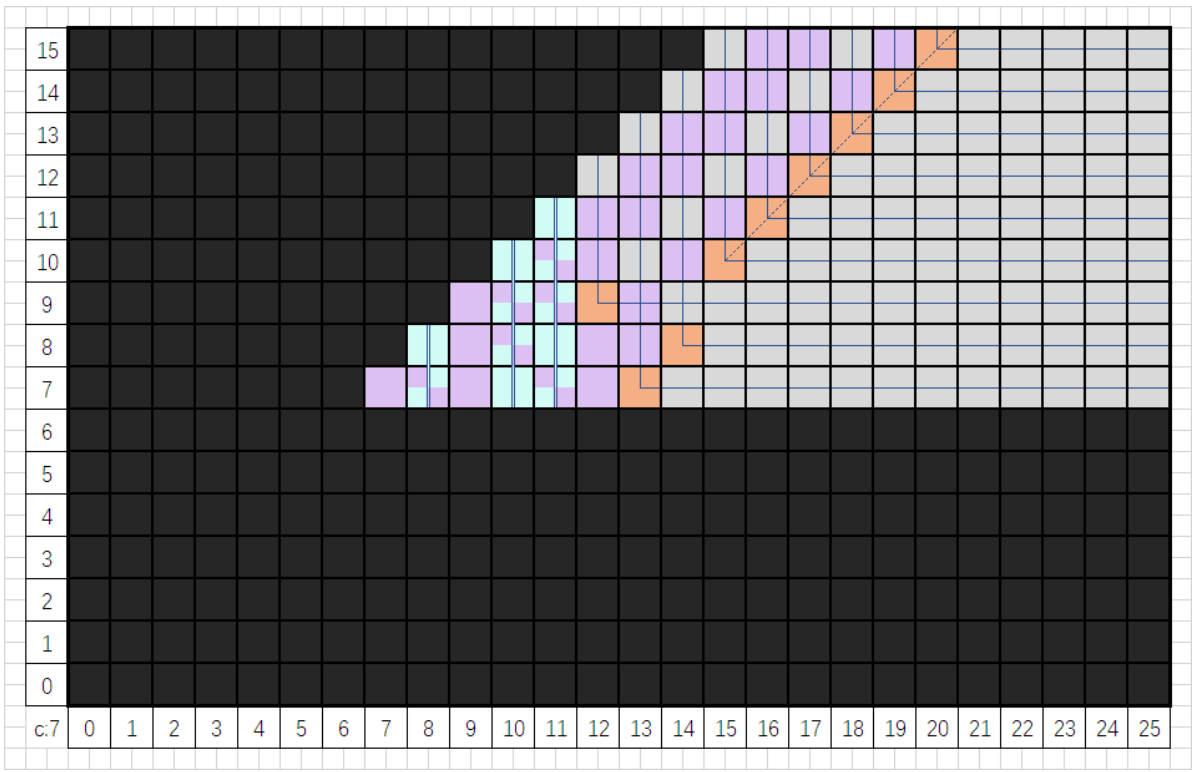
最后如果标记到了对角线上，就应用第 5 种转移，然后退出。

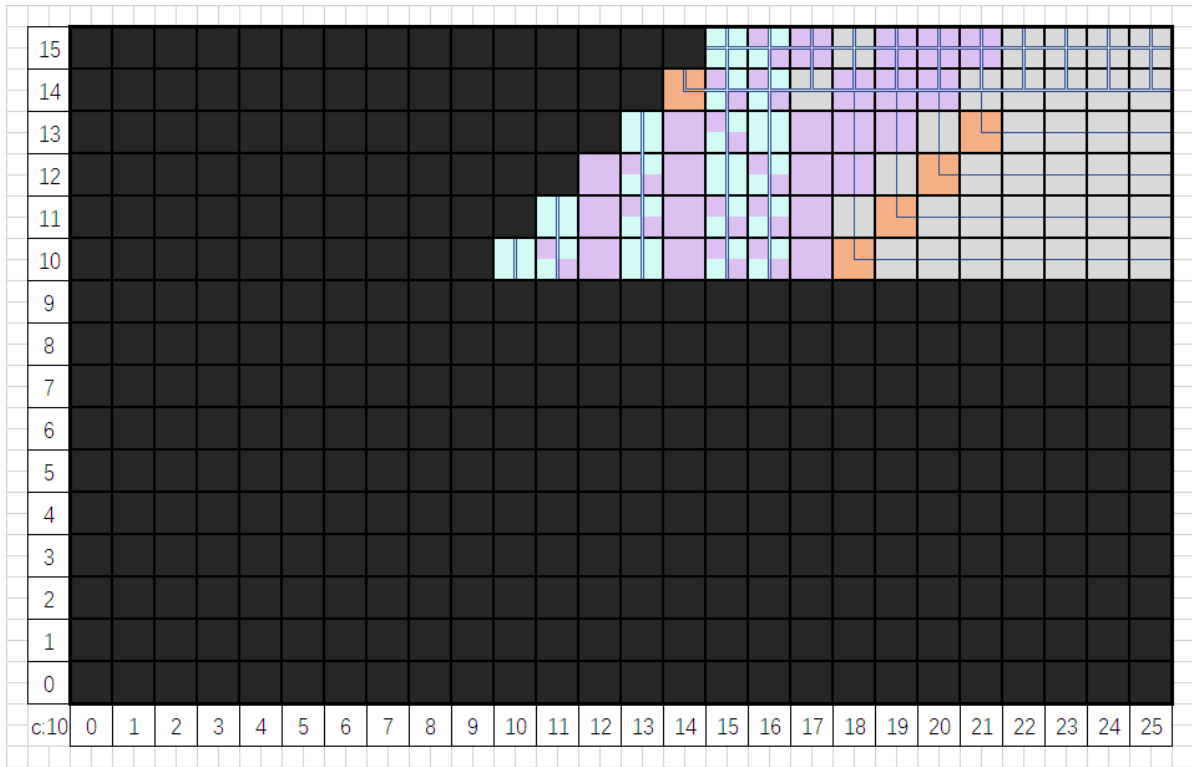
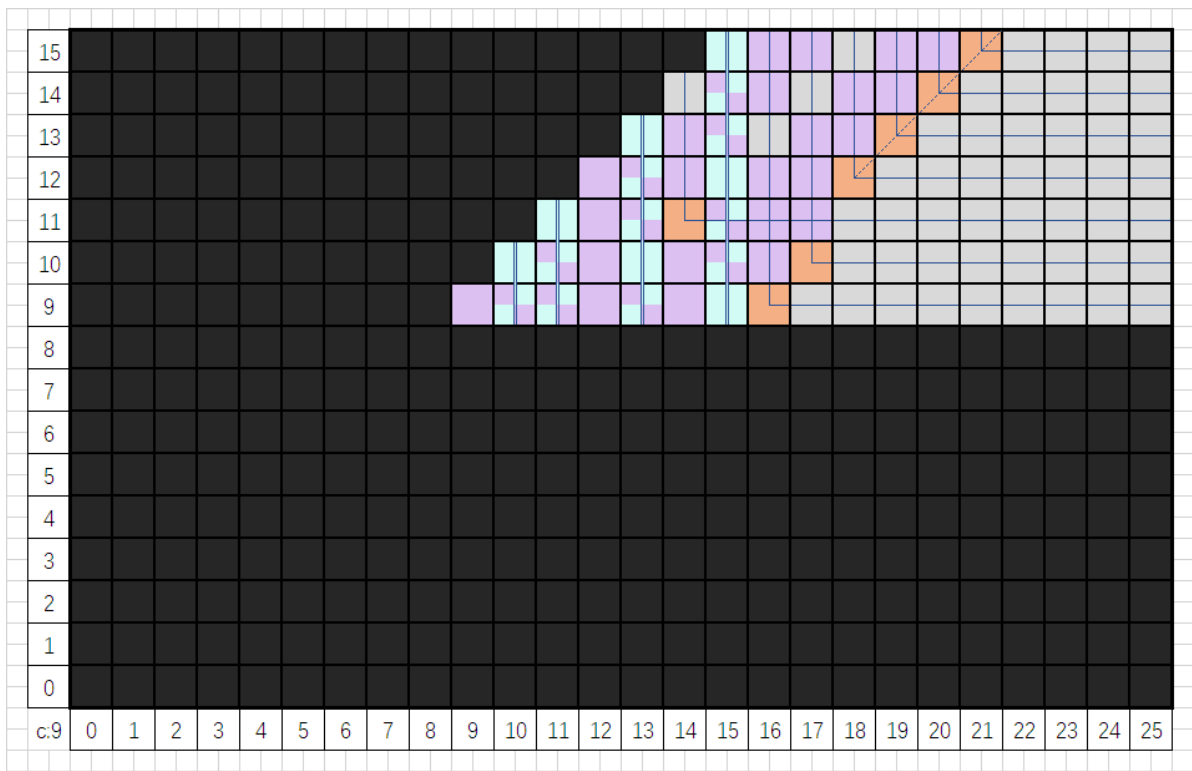
否则，永远不会标记到对角线上，那一定是出现了循环，标记其，然后退出，把 c 加上 1，进入下一个平面。

按照这样的顺序去依次处理每个 c 值，就最终能够得到所有的 \mathcal{P} 态。

在这里再贴出 $c = 5 \sim 10$ 时的平面状态（看左下角以确认 c 的值），以供读者验证：







可以看出，确实是有有点混沌的。难以找到明显的，通用的规律。

但是我们此时就可以根据这种做法写出新的计算 \mathcal{P} 态的程序了。

打表程序更新

很可惜我并没有找到比较合适的判断是否进入循环的方法。

总感觉想到的各种方法都比较别扭，正确性也不太敢保证。

所以不如采取更激进的策略：和先前的程序相同，根据 \mathcal{P} 态的 a, b 范围的猜想，直接算到 $a, b \leq 2k + \mathcal{O}(1)$ 不就好了。

这个猜想似乎在一定范围内都是成立的。所以我们的打表程序的时间复杂度可以做到 $\mathcal{O}(k^3)$ ，空间复杂度 $\mathcal{O}(k^2)$ 。

但在实测的时候，它的常数是相当小的，可以轻松在 20 秒内跑过 $k = 4300$ 的数据范围，并把整理得的规律输出到文件中。

对于 $c \leq 4300$ 的表，参见 `table2.txt`。其中 `c: pat(a,b,q)` 表示 $(a + kq, b + kq, c)$ ($k \in \mathbb{N}$) 均为 \mathcal{P} 态。

如果你不想看前面的一大堆垃圾信息，参见 `table3.txt`，这张表仅包含了后面的周期信息。

注意 `table3.txt` 的 k 值到达了 6600，所以运行时间也到达了 40 秒。

而且还开了个 13280×13280 的 `int` 数组，使用的内存超过了 512 MiB。

其中如果该 c 值对应的 \mathcal{P} 态个数有限，会写 `finite(x)` 表示总个数为 x 。

否则会写 `inf(x)` 表示不在周期中的 \mathcal{P} 态总个数为 x ，然后会给出 `pat(a,b),cyc=q` 的形式，表示的意义类似。

注意，在这个范围内，周期长度为 3 的和为 9 的都出现了：

- 长度为 3 的有 $c = 2027, 2751, 6539$ 。
- 长度为 9 的有 $c = 6541$ 。

我将把提到的程序的代码文件和提到的表格放在同文件夹下。

同在文件夹下的还有引用到的 12 张图片和作图工具：一个 Microsoft Excel 工作表。

感谢你的阅读。

参考文献

[1] Doron Zeilberger, *Three-Rowed CHOMP*, Adv. Applied Math. **26** (2001) 168-179.

[2] Andries E. Brouwer, [The game of Chomp](#), 2018 or later.